

軟質岩盤における地圧の測定法の開発と泥岩への適用

電力中央研究所 土木技術研究所 ○ 金川 忠
林 正夫
北原義浩

1. まえがき

地下発電所のような大規模な地下構造物の建設や、原子力発電所地点の周辺地盤に存在する断層の活動性に関する検討の一資料として、地圧の大きさと方向を知ることは重要であり、当所においても電力各社に協力をして、数多くの測定を行なってきた。そこで、今回は従来の硬岩と異なり、軟岩である泥岩についてオーバーコアリング法およびAE法による地圧測定の予備検討を行ない、その結果をもとに現地に適用した。以下にこれらの結果を述べる。

2. オーバーコアリング法の概要

当所で行なっているオーバーコアリング法は、現地の試掘坑を利用し、岩盤の緩みがないまたは地圧が乱れていないと思われる範囲、すなわち坑壁から5mより奥の小口径ボーリング孔内(Φ56mm)に多成分のひずみ計をセメントミルクで埋設の後、同心円の大口径ボーリング(通常の硬岩ではΦ218mm)を行ない、応力解放中の各方向のひずみを測定する。そして、図-1に示したようにひずみ計が埋設されたまゝのコアを回収し、室内三軸試験を行なって、周圧に対する埋設計器の感度を各々について調べ、現地の各解放ひずみと合せて、地圧の大きさおよび方向を算出する方法である。図-2に地圧の算出手順を示す。

3. オーバーコアリング法の泥岩適用への改良

(1) まず、実際のオーバーコアリングの際に大口径ボーリングの先端が計器埋設位置を通過後に孔底付近でコアが切断した場合、従来の外径218mm、内径195mmのシングル・コアチューブを用いると、計器が埋設されているコアが回転し、破壊してしまうことが懸念された。また、オーバーコアリングが所定の深度まで進行した時にコアが切断されずに自立している場合、コアを破壊せずに回収する方法も考える必要があった。そこで、前者に対応してはダブルコアチューブを用いることにし、後者に対応しては外管と内管の間に任意の位置でコアが切断できるコアカッターを内蔵した形のピットが考案され、所期の目的を達した。ピットの外径は356mm、内径は195mmとなつた。

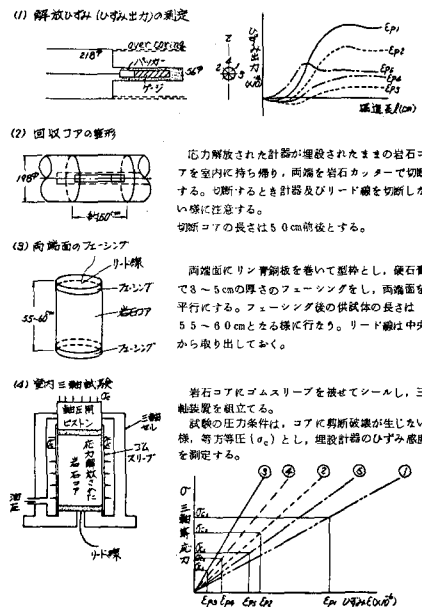


図-1 埋設計器のひずみ感度の測定手順

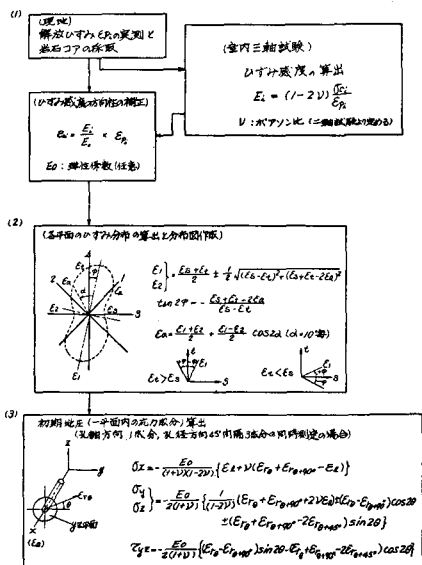


図-2 地圧算出の手順

(2) 小口径ボーリング孔内に埋設する計器は、孔軸方向 1 成分と孔径方向 45° 間隔 4 成分のひずみ計を組合せた計器で直徑 50 mm, 長さ 300 mm 程度のものである(図-3)。各ひずみ計にはそれぞれ端子が出ており、計器と孔壁の間に充填材を入れて計器を埋設し、オーバーコアリング時の応力解放に伴う孔壁の変位(直徑変化および孔軸方向の変化)を充填材を介してひずみ計の端子に伝達されるようになっている。従来の硬岩の場合には、充填材としてセメントミルク(W/C = 44~50%)を用いていた。

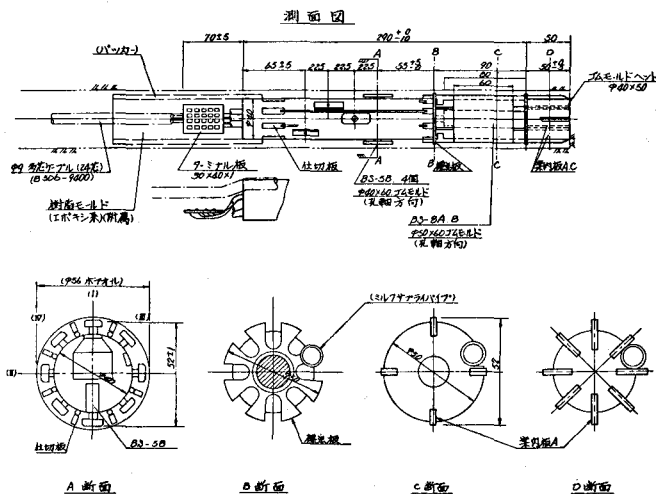


図-3 埋設計器詳細図（共和電業製品）

表-1 室内二軸試験法とオーバーコアリング法の比較

	室内二軸試験法	オーバーコアリング法
①	φ56 mmのガーリング孔のある供試体をセッティングし、相異なるP ₁ , P ₂ を載荷する。	現地の地圧が作用している地山内部に試験抵抗を用いて、φ56の小口径オーバーコアリングを行なう。
③	計画を縮設し、充填材の養生を行なう。 (10日間)	同 左
⑤	P ₁ , P ₂ を荷重し、そのひずみ量ε _p を測定する。	オーバーコアリングを行ない、解放ひずみε _p を測定する。
⑥	二軸静圧試験を行ない、みかけのボテンショ比εを仮定して各ひずみ感度ε _v を求める。	計画が縮設されたままのコアを室内に持帰り、三軸静圧試験を行なって、各ひずみ感度ε _v を求める。この時は仮定する。
⑧	ひずみ感度ε _v の方向性を補正するためにE ₀ を定めて、E ₁ , E ₂ の物性をもつ岩石の場合のみかけのひずみを求める。	同 左
⑩	E ₀ , ε _v , ε _p を用いて、地圧算定式よりεを求め、P ₁ , P ₂ と比較する。	E ₀ , ε _v , ε _p を用いて、地圧算定式より地圧εを求める。
⑫	εとP ₁ , P ₂ が等しくなるようεを定める。	室内二軸試験により、εが決定されたら、そのεを用いて、④～⑩の計算を行なって地圧を算出する。
⑬	εだけの実験では、P ₁ , P ₂ が求められない場合は、地圧算定式を再検討する。	室内二軸試験により、εが求まらない場合は、再検討された地圧算定式により、地圧を算出する。

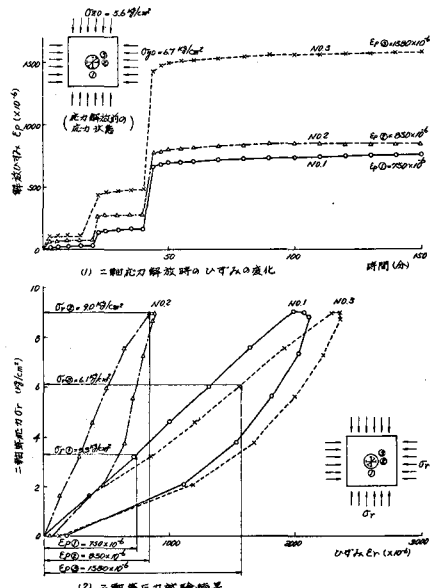


図-4 室内二軸試験の結果（泥岩）

しかし泥岩の場合には、セメントミルクでは孔壁への付着が期待できないと思われたため、種々の材料について検討した結果、セメントミルクに水溶性のビニール系樹脂レジンペーストを混合させると、泥岩の孔壁面に浸透するような形で付着することが観察された。本材料の配合は、重量比で早強セメント：レジンペースト

表-2 二軸載荷応力の算出結果（応力の単位： kg/cm^2 ）

	平面ひずみ	平面応力		
ν	0.3	0.4	0.4	0.49
σ_y	-7.92	-6.72	-7.37	-7.11
σ_z	-5.01	-5.58	-4.93	-5.16
τ_{yz}	0.02	0.01	0.02	0.02

(最初に与えた応力 $\sigma_{y_0} = -6.7$, $\sigma_{z_0} = -5.6$, $\tau_{yz_0} = 0$)

・水 = 1 : 0.3 : 0.4 程度のものがブリッジングが少なく、また、材令 10 日で強度および弾性係数が一定となる事が判ったので、現地試験の場合の充填材は本材料を用い、養生期間を 10 日と定めた。

(3) 材令 10 日以後の充填材の弾性係数は、50,000 ~ 60,000 (kg/cm^2) である。一方、泥岩の弾性係数は 5,000 ~ 10,000 (kg/cm^2) 程度である。充填材の方がかなり大きな値のため、泥岩の応力解放をかなり抑制する結果となる。

そこで、孔径方向のひずみ計の各端子間に充填材の仕切り板を設け、充填材は端子と泥岩の孔壁とを接続する単なる伝達材となるよう埋設設計器を改良した。また、孔軸方向のひずみ計についても両端子間はできるだけ充填材による拘束がなくなるように、ゴム(ハマタイト)部分を孔壁近くまで厚くした(図-2)。

4. 解析手法の検証

水平二軸試験装置を製作し、二次元的ではあるが現地オーバーコアリング法の作業工程および解析手順をできるだけ模擬し、解析手法の妥当性について検討した。供試体の大きさは一辺が 20 cm の立方体で、直径 5.6 mm の孔が中央部を貫通して上下方向に一本開けられている wet 状態の泥岩を用いた。この二軸試験とオーバーコアリング法の工程の比較を表-1 に、また二軸試験の結果と解析結果をそれぞれ図-4、表-2 に示した。図-4 の(1)では載荷応力の大小関係から、解放ひずみの大きさは $\epsilon p_2 > \epsilon p_3 > \epsilon p_1$ になると予想したが、結果は ϵp_1 と ϵp_2 が逆転した。これは図-4 (2)に示したように二軸等圧力試験の結果、泥岩供試体に異方的性質があったため、解放ひずみ分を押し戻すのに必要な等方応力は $\sigma_{r2} > \sigma_{r3} > \sigma_{r1}$ となった。そこで、従来の地圧算定式(図-

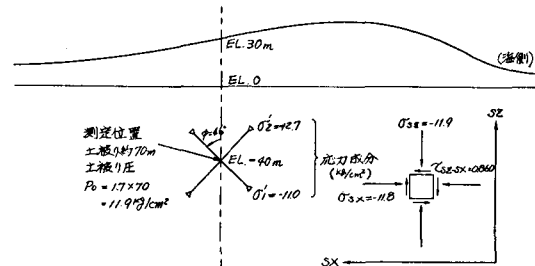


図-7 最大主応力を含む鉛直断面内の地圧成分

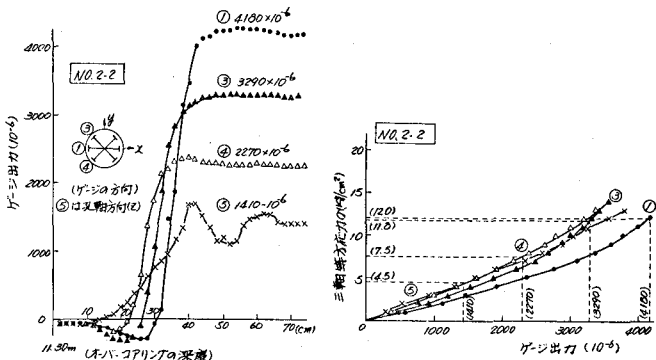


図-5 現地解放ひずみの測定結果と室内三軸等圧試験の結果例

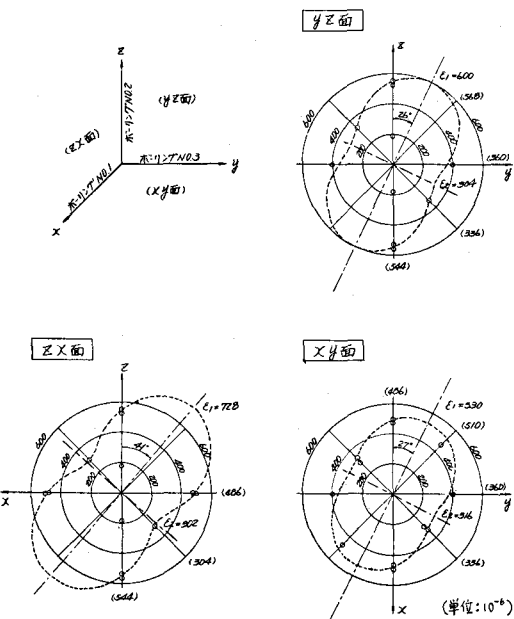


図-6 各面内のみかけのひずみ分布図

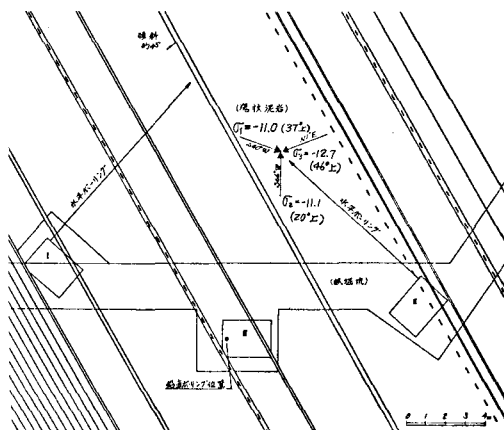


図-8 測定位置近傍の地層状態と測定結果

2) に従い、二次元として載荷応力を算出すると、平面ひずみ状態で $\nu = 0.4$ の時の結果が載荷応力に等しくなった。平面ひずみ状態と一致したのは、泥岩供試体の周囲を載荷板と密着させるために硬石膏で固めたため、泥岩の上方への変位が抑止されたためと思われる。実際の現地での試験（オーバーコアリング法）の場合にはこれらの影響もなく、三次元解析となるので、泥岩の場合には $\nu = 0.4$ を用いて解析すれば良いことが検証できた。

5. 現地オーバーコアリング法の測定結果

以上の検討結果を踏まえ、オーバーコアリング法によって泥岩岩盤の地圧測定を行なったところ、最大・最小主応力が $13 \sim 11 \text{ kg/cm}^2$ (図 - 8) となり、かなり等圧的な地圧状態となつた。また、鉛直方向の応力成分は 12 kg/cm^2 (図 - 7) であり、泥岩の単位体積重量 1.7 t/m^3 と測定位置の被り深さ 70 m より算出される被り圧 12 kg/cm^2 と同値となつた。

6. 同地点の AE 法による地圧測定結果

ここで言う AE 法とは、現地のボーリングコアより試験片を作製し、圧縮試験による Acoustic Emission (AE) の測定を行なつて、そのカイザー効果より現地の地圧を推定する方法である。カイザー効果とは、材料が過去に受けた最大応力までは材料組織が安定していて AE の発生が少ないという現象で、それ以上の応力を受けると微視的破壊が生じ易くなり、AE の発生が高まる。したがつて地圧を受けていた岩石は、地圧相当応力まではカイザー効果により AE の発生が少ないので、AE 累積数の変曲点より地圧を求めることが出来る。

当地点の泥岩 (dry 状態) について、一軸試験により地圧を推定し、各供試体の値をヒストグラムで図 - 9 に示した。供試体は水平面内の直交二方向と鉛直方向について行なつたが、各方向の測定結果に有意な差は認められず、平均的には 12 kg/cm^2 程度の等圧状態に近い結果となり、オーバーコアリングの結果と一致した。また、試みに一例ではあるが三軸等圧載荷による AE 測定を行なつたところ、図 - 10 のように一軸試験の時より明瞭に変曲点が求まり、その値も 13 kg/cm^2 であった。三軸 AE 試験法については、現在種々の検討を行なつてるので、後日あらためて報告したい。

〔謝 辞〕

これら一連の研究は、東京電力株式会社の関係各位から多大の協力を得た。ここに深謝の意を表する。

なお、オーバーコアリング法については東京電力株式会社の依頼を受けて株ダイヤコンサルタントが行ない、AE 法については当所の依頼により株応力地質調査事務所が行なつた。

〔参考文献〕

- (1) 金川・林・北原「軟質岩盤における初期地圧の測定法の開発と泥岩岩盤への適用」 電力中央研究所報告 研究報告：377003，昭和53年3月
- (2) 金川・林・北原「岩石の AE 測定によるカイザー効果を利用した地圧推定法と二、三の考察」 第11回岩盤力学に関するシンポジウム，1978年2月

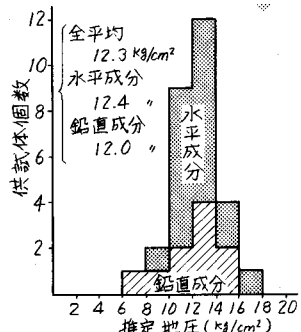


図 - 9 一軸 AE 試験の測定結果

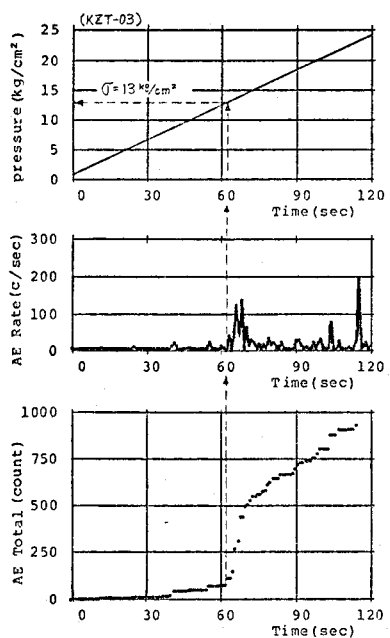


図 - 10 三軸 AE 試験の測定結果例

Development for Measuring Geo-Stresses Soft Rock-Masses and Its Applications

Tadashi KANAGAWA
Masao HAYASHI
Yoshihiro KITAHARA

Civil Engineering Laboratory
Central Research Institute
of Electric Power Industry,
1646 Abiko, Abiko-shi, Chiba-ken,
JAPAN

In order to apply the over-coring method, which has traditionally been used and developed for hard rock, to such soft rock-masses as mud-stone, great consideration was given to improving the method.

- (1) Drilling bit with a double-core tube (outer diameter 356mm, inner diameter 195mm) containing a core-cutter between the outer tube and the inner tube, is applied.
- (2) A filling material is a mixture of cement milk and vinyl resin paste. This material has been found to stick securely to the surface of the mud-stone and was accompanied by a kind of penetration.
- (3) Strips are placed at the intermediate position between the gauges set in the radial direction so that the filling material only plays a role as a medium which makes sure that the connection between the flanges of the gauge and the surface of the drilled hole of mud-stone are secure.
- (4) For verification the procedures for the field test and analysis are simulated in the laboratory test with the aid of a bi-axial testing apparatus. In consequent, we found that the measurement of geo-stress within soft rock-masses like mud-stone can be performed.
- (5) Based on these considerations, field measurement of geo-stress within rock-masses of mud-stone can be successfully carried out. It is concluded that the values of the principal stress are $\delta_3 = 13 \text{ kg/cm}^2$ in maximum compression and $\delta_1 = 11 \text{ kg/cm}^2$ in minimum compression.